

การใช้ชิลิกาฟูมร่วมกับถ่านหินแยกละเอียดในการทำคอนกรีตกำลังสูง

ธีราชา ลีกีรติกุล¹ วันชัย สะตะ² และ ชัย จาตุรพิทักษ์กุล³

มหาวิทยาลัยเทคโนโลยีพระจอมเกล้าธนบุรี บางมด ทุ่งครุ กรุงเทพฯ 10140

บทคัดย่อ

งานวิจัยนี้เป็นการศึกษาการใช้ชิลิกาฟูมควบแน่นร่วมกับถ่านหินแยกละเอียดในการทำคอนกรีตกำลังสูงโดยการแทนที่ปูนซีเมนต์ปอร์ตแลนด์ประเภท 1 ด้วยชิลิกาฟูมควบแน่นจากสองแหล่งผลิตในอัตรา้อยละ 10 ร่วมกับถ่านหินจากโรงผลิตกระเบ้าไฟฟ้าแม่مهaje ที่ผ่านการแยกด้วยเครื่อง Air Classifier ให้มีความละเอียดสูงและเล็กจนมีขนาดอนุภาคเฉลี่ย 3.2 ไมครอน ในอัตรา้อยละ 0, 5, 15, 25 และ 40 โดยนำหัวนัก เปรียบเทียบผลกับการใช้ปูนซีเมนต์ปอร์ตแลนด์ประเภท 1 เป็นวัสดุประสานเพียงอย่างเดียว แต่ละส่วนผสมคอนกรีตใช้สารลดน้ำพิเศษเพื่อให้อัตราส่วนน้ำต่อวัสดุประสานคงที่เท่ากับ 0.27 โดยให้คอนกรีตมีค่าอยุบตัวอยู่ระหว่าง 20 ± 2.5 ซม. ใช้ตัวอย่างทรงกระบอกขนาดเส้นผ่านศูนย์กลาง 10 ซม. สูง 20 ซม. เพื่อทดสอบกำลังอัดที่อายุ 7, 28, 60, 90 และ 180 วัน ผลการวิจัยพบว่าการใช้ชิลิกาฟูมควบแน่นร้อยละ 10 ร่วมกับถ่านหินแยกละเอียดไม่เกินร้อยละ 15 จะได้คอนกรีตที่มีกำลังอัดสูงกว่าหรือเทียบเท่ากับการใช้ชิลิกาฟูมควบแน่นร้อยละ 10 นอกจากนั้นยังให้กำลังอัดมากกว่าคอนกรีตที่ใช้ปูนซีเมนต์ปอร์ตแลนด์ประเภท 1 เป็นวัสดุประสานเพียงอย่างเดียวตลอดอายุการทดสอบ

¹ อัตตนาศศิเกษาระดับบัณฑิตศึกษา ภาควิชาวิศวกรรมโยธา

² นักศึกษาระดับบัณฑิตศึกษา ภาควิชาวิศวกรรมโยธา

³ รองศาสตราจารย์ ภาควิชาวิศวกรรมโยธา

Utilization of Condensed Silica Fume and Classified Fly Ash in High Strength Concrete

Theerarach Leekeeratikul¹ Vanchai Sata² and Chai Jaturapitakkul³

King Mongkut's University of Technology Thonburi, Bangmod, Toongkru, Bangkok 10140

Abstract

This paper illustrates the study of condensed silica fume in combination with classified fly ash to make high strength concrete. Two brands of condensed silica fume were used in this experimental program. Fly ash from Mae Moh power plant was classified by air classifier to have high fineness ($d_{50} = 3.2$ micron). Condensed silica fume at 10% and classified fly ash at 0, 5, 15, 25, and 40% were used to replace Portland cement type I (by weight) to produce high strength concrete in order to compare with control concretes. The water to cementitious material ratio (W/B) of 0.27 was kept constant and the superplasticizer was employed in all concrete mixes to maintain the slump of fresh concrete between 20 ± 2.5 cm. All concrete samples were cast in cylindrical molds of diameter 10-cm and 20-cm in height. They were tested to determine the compressive strength at the ages of 7, 28, 60, 90, and 180 days. The obtained results show that the replacement of cement by 10% of condensed silica fume and classified fly ash not more than 15% can give equal or higher compressive strength than those of the concrete with 10% replacement of condensed silica fume and also higher than the control concretes.

¹ Formerly, Graduate Student, Department of Civil Engineering.

² Graduate Student, Department of Civil Engineering.

³ Associate Professor, Department of Civil Engineering.

1. บทนำ

นักวิจัยค่อนกรีตได้ให้ความสนใจค่อนกรีตกำลังสูง เนื่องจากค่อนกรีตกำลังสูงสามารถลดขนาดและน้ำหนักของโครงสร้างได้โดยเฉพาะในการก่อสร้างอาคารสูงหรือสถานที่มีความยาวมากๆ ซึ่งทำให้ขนาดของเสาและฐานรากลดลง ACI 363 [1] กำหนดให้ค่อนกรีตทรงกระบอกเลี้นผ่านศูนย์กลาง 15 ซม. สูง 30 ซม. ที่มีกำลังอัดที่อายุ 28 วันมากกว่า 410 กก./ซม.² ถือว่าเป็นค่อนกรีตกำลังสูง โดยทั่วไปในการทำค่อนกรีตกำลังสูงจะใส่สารเคมีผสมเพิ่มประเภทสารลดน้ำพิเศษเพื่อลดอัตราส่วนน้ำต่อปูนซีเมนต์ให้ต่ำลง และใส่สารผสมเพิ่มประเภทวัสดุปอกชิ้นงานเพื่อเพิ่มกำลังอัดประดับเมื่อค่อนกรีตอายุมากขึ้น โดยวัสดุปอกชิ้นงานที่นิยมใช้ในการทำค่อนกรีตกำลังสูงได้แก่ ชิลิกาฟูม รองลงมาคือถ้วยตันหิน

ชิลิกาฟูมหรือไนโตรชิลิกาเป็นผลผลิตได้จากการบวนการเปล่งแร่ควอตบบริสุทธิ์เป็นชิลิกอน มีขนาดอนุภาคเฉลี่ยประมาณ 0.1 ไมครอน องค์ประกอบทางเคมีของชิลิกาฟูมมีชิลิกอนออกไซด์มากกว่าร้อยละ 90 มีพื้นที่ผิวสูงและมีโครงสร้างล้วนมากไม่เป็นผลึกจึงทำปฏิกิริยาปอกชิ้นงานได้เร็วมาก ดังนั้นชิลิกาฟูมจึงนิยมใช้ทำค่อนกรีตกำลังสูง ซึ่ง Duval และ Kadri [2] พบว่าการแทนที่ปูนซีเมนต์ด้วยชิลิกาฟูมในอัตราร้อยละ 10 และ 20 จะได้ค่อนกรีตที่มีกำลังอัดสูงกว่าค่อนกรีตควบคุมที่ใช้ปูนซีเมนต์เป็นวัสดุประสานเพียงอย่างเดียว

ถ้วยตันหินเป็นผลผลิตได้จากการบวนการเผาถ่านหินเป็นเชื้อเพลิงของโรงงานผลิตกระแสไฟฟ้า ปัจจุบันประเทศไทยได้นำเอาถ้วยตันหินมาใช้ประโยชน์กันอย่างกว้างขวางโดยเฉพาะอย่างยิ่งในการแทนที่ปูนซีเมนต์บางส่วนในค่อนกรีตผสมเสร็จ จากรายงานของ ไกรรุติมิลแลคตอน [3], Slanicka [4] พบว่าขนาดอนุภาคของถ้วยตันหินมีผลต่อกำลังอัดของมอร์ตาร์ โดยถ้วยตันหินที่มีขนาดอนุภาคเล็ก มีพื้นที่ผิวมาก สามารถทำปฏิกิริยาปอกชิ้นงานได้เร็วจังพัฒนากำลังอัดในช่วงอายุต้นได้สูงและรวดเร็ว Hague และ Kayali [5] ได้ศึกษาการใช้ถ้วยตันหินที่มีความละเอียดสูงในการทำค่อนกรีตกำลังสูงและได้ค่อนกรีตที่มีกำลังอัดอยู่ระหว่าง 940-1110 กก./ซม.² เมื่อใช้ถ้วยตันหินที่มีความละเอียดแทนที่ปูนซีเมนต์ในอัตราร้อยละ 10 นอกจากนั้น บีราชและชัย [6] พบว่าการใช้ถ้วยตันหินแยกละเอียดแทนที่ปูนซีเมนต์ร้อยละ 15 ถึง 35 สามารถทดแทนการใช้ชิลิกาฟูมควบคุมแน่นร้อยละ 5 ถึง 15 ได้ และมีกำลังอัดในระดับเดียวกัน จากการศึกษาของ Angsuwattana และคณะ [7] พบว่าการใช้ชิลิกาฟูมควบคุมแน่นจะทำให้ค่อนกรีตมีความต้องการสารลดน้ำพิเศษจำนวนมากกว่าการใช้ถ้วยตันหินแยกละเอียดในขณะที่กำหนดค่าอุบัติธรรมของค่อนกรีตเท่ากัน

การศึกษาที่ผ่านมาทั้งหมดเป็นการศึกษาเรื่องการใช้ชิลิกาฟูมหรือถ้วยตันหินแต่เพียงอย่างเดียวในการแทนที่ปูนซีเมนต์เพื่อทำค่อนกรีตกำลังสูง แต่การศึกษาถึงการใช้สัดปอกชิ้นงานทั้งสองร่วมกันในค่อนกรีตกำลังสูงยังมีค่อนข้างน้อยโดยเฉพาะอย่างยิ่งการใช้ถ้วยตันหินที่ผลิตในประเทศไทย ดังนั้นงานวิจัยนี้จึงศึกษาการใช้ชิลิกาฟูมควบคุมแน่นร่วมกับถ้วยตันหินจากโรงงานไฟฟ้าแม่urate ที่ผ่านการแยกกลະเอียดเพื่อแทนที่ปูนซีเมนต์บางส่วนในการทำค่อนกรีตกำลังสูง

2. วัสดุประสงค์

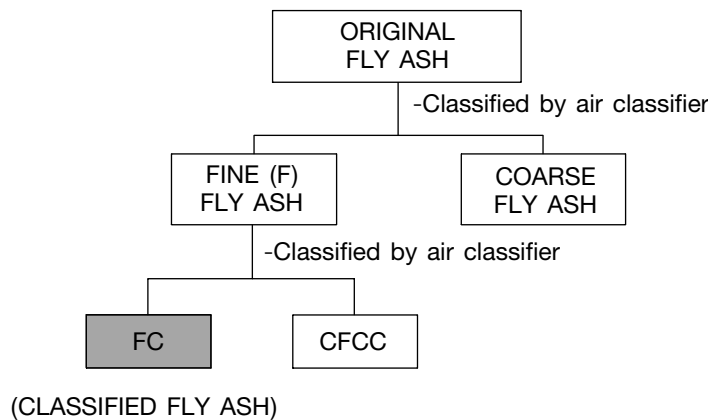
การวิจัยในครั้งนี้มีวัตถุประสงค์เพื่อศึกษาการใช้ชิลิกาฟูมควบแน่นร่วมกับเก้าอี้นิ่นแยกละเอียด ในการทำคอนกรีตกำลังสูงและเปรียบเทียบกำลังอัดกับการใช้ชิลิกาฟูมควบแน่นเพียงอย่างเดียว

3. วิธีการศึกษา

3.1 วัสดุที่ใช้ในการทดสอบ

วัสดุที่ใช้ในการศึกษาครั้งนี้ประกอบด้วย

ปูนซีเมนต์	ใช้ปูนซีเมนต์ปอร์ตแลนด์ประเภท 1 ตามมาตรฐาน ASTM C 150
เก้าอี้นิ่น	ใช้เก้าอี้นิ่นจากโรงงานไฟฟ้าแม่مهะที่นำมาผ่านการแยกให้มีความละเอียดสูงด้วยเครื่อง Air Classifier จนมีขนาดอนุภาคเฉลี่ย 3.2 ไมครอน ซึ่งเก้าอี้นิ่นดังกล่าวประมาณร้อยละ 90 มีขนาดเล็กกว่า 10 ไมครอน โดยขบวนการแยกแสดงดังรูปที่ 1 ซึ่งเก้าอี้นิ่นแยกขนาดที่นำมาใช้ศึกษาคือ “FC”
ชิลิกาฟูม	เป็นชิลิกาฟูมควบแน่นที่มีจำหน่ายในประเทศไทยจากสองแหล่งผลิต ใช้ลักษณะคือ SI และ SII
สารลดน้ำพิเศษ	ใช้ประเภท F ชนิดแอนฟทาลีน (Sulphonated Naphthalene Formaldehyde) โดยใส่สารลดน้ำพิเศษทุกส่วนผสมทั้งนี้เพื่อให้คอนกรีตมีความสามารถในการทำงานได้ตามที่กำหนด
น้ำ	ใช้น้ำประปา
หิน	ใช้หินปูนย่อยขนาดใหญ่สุด 12 มม. ลังน้ำหนักละอاد
ทราย	ใช้ทรายน้ำจีดร่องผ่านตะแกรงเบอร์ 4 ลังน้ำหนักละอاد



รูปที่ 1 ขบวนการแยกถ่านหินละเอียดด้วยเครื่อง Air Classifier

3.2 ส่วนผสมคอนกรีต

เนื่องจากการวิจัยนี้เป็นการพัฒนาถ่านหินโดยการแยกละเอียดมาใช้ร่วมกับชิลิกาฟูมควบแน่นในการทำคอนกรีตกำลังสูง จึงกำหนดทุกสัดส่วนผสมให้มีปริมาณวัสดุประสานเท่ากับ 554 กก./ม^3 ยัตราช่วงทรายต่อหินเท่ากับ 45:55 โดยปริมาตร อัตราส่วนน้ำต่อวัสดุประสานเท่ากับ 0.27 ใช้สารลดน้ำพิเศษปรับค่ายุบตัวของคอนกรีตให้อยู่ระหว่าง $20 \pm 2.5 \text{ ซม.}$

ส่วนผสมคอนกรีตแบ่งออกเป็น 3 กลุ่ม กลุ่มแรกเป็นคอนกรีตควบคุม (control) ที่ใช้ปูนซีเมนต์เป็นวัสดุประสานเพียงอย่างเดียว กลุ่มที่สอง (SI10, SII10) เป็นคอนกรีตที่ใช้ชิลิกาฟูม SI และ SII แทนที่ปูนซีเมนต์ ร้อยละ 10 โดยน้ำหนักของวัสดุประสาน ซึ่งสัดส่วนนี้ให้กำลังอัดสูงสุดในการแทนที่ด้วยชิลิกาฟูมทั้งสองชนิด [6] ส่วนกลุ่มสุดท้าย เป็นคอนกรีตที่ใช้ชิลิกาฟูม SI และ SII ร้อยละ 10 ร่วมกับถ่านหินแยกละเอียด (FC) อีกร้อยละ 5, 15, 25 และ 40 โดยน้ำหนักของวัสดุประสานในการแทนที่ปูนซีเมนต์ เช่น SI10FC05 หมายถึง คอนกรีตที่แทนที่ปูนซีเมนต์ด้วยชิลิกาฟูม SI ร้อยละ 10 ร่วมกับถ่านหินแยกละเอียดอีกร้อยละ 5 โดยน้ำหนักของวัสดุประสาน เป็นต้น สำหรับอัตราส่วนผสมต่างๆ แสดงในตารางที่ 1 จากนั้นผสมคอนกรีตและเก็บตัวอย่างทดลองทุกรอบ ก่อนผ่านคูนย์กลาง 10 ซม. สูง 20 ซม. หลังจากหล่อคอนกรีต 24 ชั่วโมง ทำการทดสอบแบบแล้วบ่มในน้ำสะอาด ทดสอบกำลังอัดของคอนกรีตที่อายุ 7, 28, 60, 90 และ 180 วัน

ตารางที่ 1 อัตราส่วนผสมคอนกรีตกำลังสูงที่ใช้ในการศึกษา

Mix No.	Symbol	Mix Proportion (kg/m³)								$\frac{W}{B}$	Slump (mm)
		Cement	SI	SII	FC	Sand	Agg.	Water	Super P.		
1	Control	554	-	-	-	780	976	146.3	5.54	0.27	190
2	SI10	499	55	-	-	771	965	140.4	15.23	0.27	190
3	SII10	499	-	55	-	771	965	140.4	15.23	0.27	200
4	SI10FC05	471	55	-	28	768	961	142.9	11.08	0.27	205
5	SI10FC15	416	55	-	83	761	954	144.9	7.85	0.27	200
6	SI10FC25	360	55	-	139	755	946	146.4	5.31	0.27	190
7	SI10FC40	277	55	-	222	745	934	147.0	4.38	0.27	185
8	SII10FC05	499	-	55	28	767	961	143.5	10.16	0.27	190
9	SII10FC15	416	-	55	83	761	953	144.9	7.85	0.27	200
10	SII10FC25	360	-	55	139	754	945	146.3	5.54	0.27	205
11	SII10FC40	277	-	55	222	744	933	146.8	4.52	0.27	215

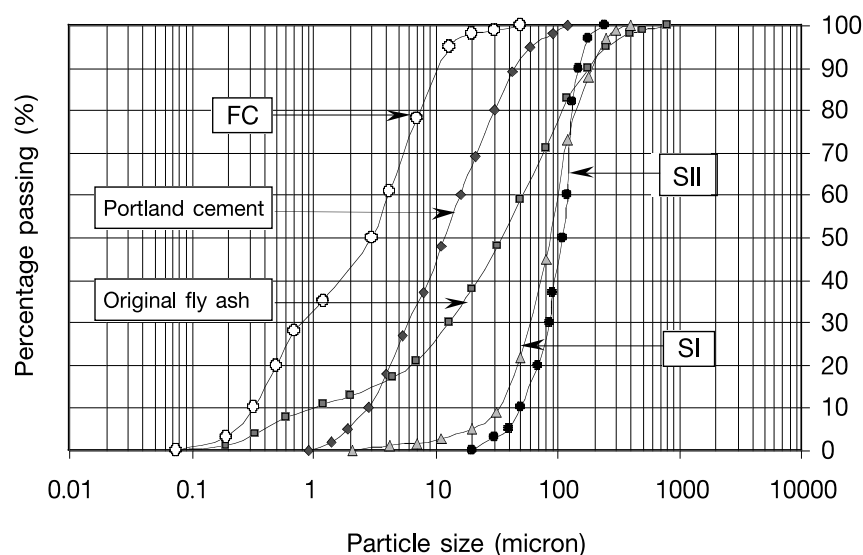
4. ผลการทดสอบและวิเคราะห์ผล

4.1 คุณสมบัติของวัสดุประสาน

ตารางที่ 2 แสดงคุณสมบัติทางกายภาพของวัสดุประสาน ส่วนผลการวิเคราะห์การกระจายตัวของอนุภาคแสดงในรูปที่ 2 ซึ่งแสดงว่าหลังจากการแยกเก้าอี้นันให้มีความละเอียดมากขึ้น เก้าอี้นันที่มีขนาดอนุภาคเฉลี่ยลดลงจาก 28.5 ไมครอน เป็น 3.2 ไมครอน ความถ่วงจำเพาะเพิ่มจาก 2.02 เป็น 2.40 ส่วนความละเอียดโดยวิธีเบลนเพอร์มีอะบิลิตี้ มีค่าเท่ากับ 5330 ซม²/ก ในขณะที่ความละเอียดของเก้าอี้นันที่ไม่ได้ผ่านการแยกจะลดลงและปูนซีเมนต์มีค่าเป็น 2370 และ 3230 ซม²/ก ตามลำดับ ลักษณะผิวของปูนซีเมนต์มีลักษณะเป็นเหลี่ยมมุมรูปร่างไม้ແນน่อน ส่วนเก้าอี้นันที่แยกจะมีผิวเรียบกว่ากลมมน ดังในรูปที่ 3 ซึ่งผลการศึกษาครั้งนี้สอดคล้องกับผลการศึกษาของ Angsuwattana และคณะ [7] ที่พบว่าเก้าอี้นันที่มาจากโรงงานผลิตกระเบ้าไฟฟ้าแม่เมะที่ผ่านการแยกด้วยเครื่อง Air Classifier เป็นเก้าอี้นันที่มีความละเอียดสูงและยังคงมีรูปร่างกลมมน

ตารางที่ 2 คุณสมบัติทางกายภาพของวัสดุประسان

Property	portland cement	original fly ash	classified fly ash	silica fume (SI)	silica fume (SII)
Specific gravity	3.14	2.02	2.40	2.22	2.19
Retained on sieve No. 325 (%)	4.7	37.4	0.0	1.6	2.8
Blaine fineness (cm^2/g)	3230	2370	5330	-	-
Median particle size, d_{50} (micron)	12.0	28.5	3.2	89.0	105.0



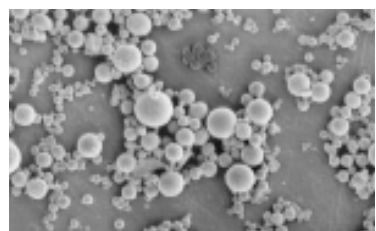
รูปที่ 2 การกระจายตัวของอนุภาคของวัสดุประسان



ก. บูนซีเมนต์



ข. ซิลิกาฟูมควบแน่น



ค. เก้าอี้นหินแยกละเอียง

รูปที่ 3 ภาพขยายกำลังสูงของวัสดุประสาน

ตารางที่ 3 แสดงองค์ประกอบทางเคมีของวัสดุประสาน พนว่าเก้าอี้นหินที่ไม่ผ่านการแยกขนาดและผ่านการแยกละเอียดมีองค์ประกอบทางเคมีใกล้เคียงกันและจัดอยู่ใน Class F ตาม ASTM C 618 เมื่อจากมีผลรวมองค์ประกอบทางเคมีของ SiO_2 , Al_2O_3 และ Fe_2O_3 เท่ากับร้อยละ 83.39 และ 80.61 ตามลำดับ ซึ่งมากกว่าร้อยละ 70 มีค่า LOI (Loss On Ignition) และปริมาณ SO_3 ไม่เกินร้อยละ 6 และ 5 ตามลำดับ สำหรับซิลิกาฟูม SI และ SII มีปริมาณ SiO_2 เท่ากับร้อยละ 93.80 และ 94.09 มีค่า LOI เท่ากับร้อยละ 4.89 และ 4.65 ตามลำดับ ซึ่งเป็นไปตามข้อกำหนด ASTM C 1240 ที่กำหนดให้ซิลิกาฟูมต้องมีปริมาณ SiO_2 มากกว่าร้อยละ 85 และมีค่า LOI น้อยกว่าร้อยละ 6

ตารางที่ 3 องค์ประกอบทางเคมีของวัสดุประสาน

Chemical compositions (%)	cement type 1	original fly ash	classified fly ash (FC)	silica fume (SI)	silica fume (SII)
SiO_2	21.16	46.25	46.28	93.80	94.09
Al_2O_3	6.04	26.43	24.16	0.21	0.17
Fe_2O_3	3.15	10.71	10.17	0.09	0.07
SO_3	2.88	1.85	0.81	-	-
CaO	63.96	7.61	12.06	0.12	0.18
MgO	0.87	2.21	2.78	0.33	0.34
Na_2O	0.05	1.11	0.08	-	-
K_2O	0.54	3.07	3.20	0.38	0.35
Loss on ignition	1.39	0.23	2.70	4.89	4.65

4.2 คอนกรีตสด

จากการควบคุมอัตราส่วนน้ำต่อปูนซีเมนต์ให้หักง่าย 0.27 และใช้สารลดน้ำพิเศษปรับค่าญบด้วยตัวของคอนกรีตให้อยู่ระหว่าง 20 ± 2.5 ซม. ผลในตารางที่ 1 แสดงว่าคอนกรีตที่แทนที่ด้วยชิลิกาฟูมความแน่นทั้งสองชนิดในอัตราร้อยละ 10 ต้องใช้ปริมาณสารลดน้ำพิเศษในปริมาณที่มากกว่าคอนกรีตควบคุม ทั้งนี้เป็นเพราะว่าหลังจากที่ชิลิกาฟูมความแน่นแตกตัวเป็นอนุภาคที่มีขนาดเล็กกว่าปูนซีเมนต์ถึง 100 เท่า ทำให้มีพื้นที่ผิวมาก ดังนั้นจึงต้องใช้สารลดน้ำพิเศษมากขึ้นเพื่อให้ได้ค่าญบด้วยตัวตามที่ต้องการ [7] ในขณะที่การนำถ่านหินแยกละเอียดในอัตราร้อยละ 5, 15, 25 และ 40 มาใช้ร่วมกับชิลิกาฟูมความแน่นร้อยละ 10 จะใช้ปริมาณสารลดน้ำพิเศษลดลง และจะลดลงตามปริมาณของถ่านหินแยกละเอียดที่เพิ่มขึ้น ทั้งนี้เป็นเพราะว่าอนุภาคของถ่านหินแยกละเอียดแม้ว่าจะมีขนาดเล็กประมาณ 3.2 ไมครอน แต่ยังมีขนาดใหญ่กว่าอนุภาคของชิลิกาฟูมที่แตกตัวแล้วอย่างมาก นอกจากนี้ยังมีรูปร่างที่กลมมน ผิวนเรียบ ทำให้คอนกรีตไหลลื่นและทำงานได้ง่ายขึ้น [8] ส่งผลให้การใช้สารลดน้ำพิเศษน้อยลงกว่าการใช้ชิลิกาฟูมความแน่นเพียงอย่างเดียว

4.3 กำลังอัดของคอนกรีต

ผลการทดสอบกำลังอัดของคอนกรีตและการเปรียบเทียบกับกำลังอัดของคอนกรีตควบคุม แสดงดังตารางที่ 4 พบว่าทุกๆ ส่วนผสมถือได้ว่าเป็นคอนกรีตกำลังสูงเนื่องจากกำลังอัดที่ 28 วันมีค่ามากกว่า 410 กก/ซม² โดยกำลังอัดที่อายุ 28 วันต่ำที่สุดคือคอนกรีต SII10FC40 มีค่าเท่ากับ 637 กก/ซม² และกำลังอัดสูงสุดเท่ากับ

937 กก/ซม² ในคอนกรีต SI10 ส่วนคอนกรีตควบคุม มีค่าเท่ากับ 749 กก/ซม²

ตารางที่ 4 กำลังอัดของคอนกรีตในล่วงผลิตต่างๆ

Mix No.	Symbol	Compressive Strength (ksc)					Normalized Comp. Strength (%)				
		7-d	28-d	60-d	90-d	180-d	7-d	28-d	60-d	90-d	180-d
1	Control	580	749	837	874	912	100	100	100	100	100
2	SI10	710	973	962	976	1002	122	125	115	112	110
3	SII10	725	858	885	902	933	125	115	106	103	102
4	SI10FC05	768	903	951	973	1008	132	121	114	111	111
5	SI10FC15	769	902	943	959	996	133	120	113	110	109
6	SI10FC25	673	807	860	881	914	116	108	103	101	100
7	SI10FC40	592	702	750	770	804	102	94	90	88	88
8	SII10FC05	762	860	928	970	1000	131	115	111	111	110
9	SII10FC15	724	797	876	913	945	125	106	105	104	104
10	SII10FC25	666	735	797	834	873	115	98	95	95	96
11	SII10FC40	545	637	711	753	793	94	85	85	86	87

4.3.1 ผลของการใช้ชิลิกาฟูม SI และ SII ที่ร้อยละ 10 ต่อกำลังอัดของคอนกรีต

กำลังอัดของคอนกรีตที่แทนที่ปูนซีเมนต์ด้วยชิลิกาฟูม SI และ SII ร้อยละ 10 ที่อายุต่างๆ กัน แสดงดังตารางที่ 4 ใน Mix No. 2 และ 3 พบว่าที่อายุ 7 วันกำลังอัดมีค่าเป็น 710 และ 725 กก/ซม² ในคอนกรีต SI10 และ SII10 ตามลำดับ เมื่อคอนกรีตอายุเพิ่มมากขึ้นปริมาณของ SiO₂ ที่มีสูงกว่าร้อยละ 93 ในชิลิกาฟูม ความแน่นทั้งคู่จะทำปฏิกิริยาปอชโซลานกับ Ca(OH)₂ ได้อย่างรวดเร็วซึ่งพัฒนากำลังอัดเพิ่มขึ้นอย่างมากจนอายุ 28 วัน ซึ่งมีค่ากำลังอัดเท่ากับ 937 และ 858 กก/ซม² ในคอนกรีต SI10 และ SII10 ตามลำดับ ซึ่งเพิ่มขึ้น 227 และ 133 กก/ซม² ในช่วงเวลา 21 วัน จากนั้นการพัฒนากำลังอัดเริ่มช้าลงเมื่อคอนกรีตอายุมากขึ้นโดยมีค่าเป็น 1002 และ 933 กก/ซม² ที่อายุ 180 วัน ถ้าพิจารณาเบรยนเทียบกับคอนกรีตควบคุม พบร่วมกับที่อายุไม่เกิน 28 วันคอนกรีตที่แทนที่ด้วยชิลิกาฟูมมีกำลังอัดสูงกว่าคอนกรีตควบคุมอย่างเห็นได้ชัดโดยมีค่าอยู่ระหว่างร้อยละ 115 ถึง 125 แต่เมื่ออายุคอนกรีตเพิ่มขึ้นกำลังอัดมีค่าเป็นร้อยละ 110 และ 102 ตามลำดับ ของคอนกรีตควบคุมที่อายุ 180 วัน สอดคล้อง กับงานวิจัยของ Hassan และคณะ [9] ที่ใช้ชิลิกาฟูมร้อยละ 10 แทนที่ปูนซีเมนต์ในคอนกรีต ซึ่งให้เห็นว่าชิลิกาฟูม สามารถเพิ่มกำลังอัดที่ร้อยละต้นและร้อยละของคอนกรีตให้สูงกว่าคอนกรีตที่ไม่ใช้ชิลิกาฟูม

4.3.2 ผลของการใช้ชิลิกาฟูม SI ร้อยละ 10 ร่วมกับเก้าอี้นิรภัยเด็กต่อกำลังอัดของคอกกระต๊ะ

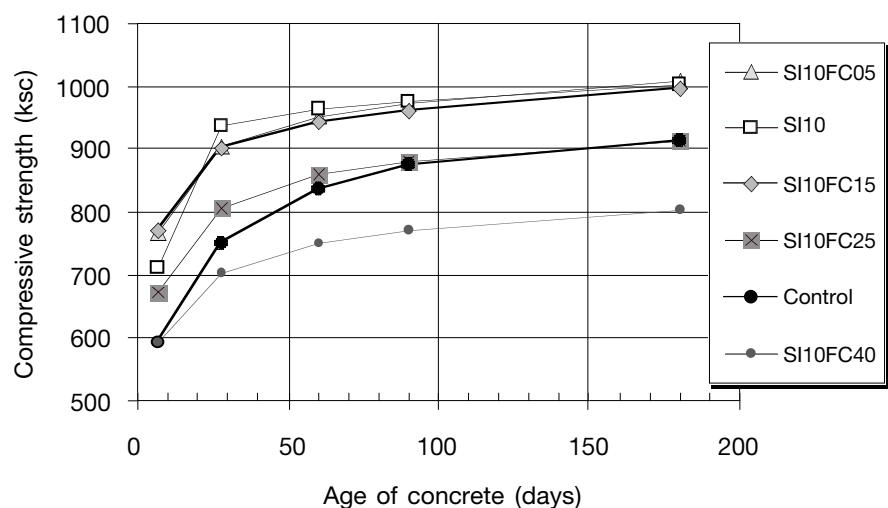
ผลการทดสอบกำลังอัดคอกกระต๊ะที่แทนที่ปูนซีเมนต์ด้วยชิลิกาฟูม SI ร้อยละ 10 ร่วมกับเก้าอี้นิรภัยเด็กต่อชิลิกาฟูม FC ร้อยละ 5, 15, 25, และ 40 แสดงในตารางที่ 4 ดังแต่ Mix No. 4 ถึง 7 ส่วนรูปที่ 4 ก. แสดงความล้มพันธ์ระหว่างกำลังอัดกับการแทนที่ปูนซีเมนต์ด้วยชิลิกาฟูม SI ร้อยละ 10 ร่วมกับเก้าอี้นิรภัย FC ร้อยละ 5, 15, 25, และ 40 ที่อายุต่างๆ พนิจการพัฒนากำลังอัดในช่วงอายุ 7 วันถึง 28 วัน มีค่าเพิ่มขึ้นระหว่าง 110 ถึง 135 กก./ซม.² ทำให้กำลังอัดที่อายุ 28 วันมีค่าเท่ากับ 903, 902, 807, และ 702 กก./ซม.² ตามลำดับ จากนั้นการพัฒนา กำลังอัดยังคงดำเนินต่อไปเรื่อยๆ เมื่อสังเกตส่วนผสม SI10FC05 กับ SI10FC15 จะเห็นว่าคอกกระต๊ะทึบคู่มีกำลังอัดใกล้เคียงกันมากซึ่งมีค่าสูงกว่าคอกกระต๊ะ SI10FC25 และ SI10FC40 ตลอดอายุการทดสอบ

ส่วนในรูปที่ 5 ก. แสดงกำลังอัดเมื่อเปรียบเทียบกับคอกกระต๊ะควบคุม เห็นได้ว่าการใช้ SI ร้อยละ 10 ร่วมกับ FC ในปริมาณร้อยละ 5 และ 15 ให้กำลังอัดสูงกว่าคอกกระต๊ะควบคุมโดยมีค่าเท่ากับร้อยละ 109 ถึง 133 ตลอดอายุการทดสอบ ส่วนคอกกระต๊ะ SI10FC25 มีกำลังอัดสูงกว่าคอกกระต๊ะควบคุมโดยมีค่าเท่ากับร้อยละ 108 ถึง 116 ที่อายุไม่เกิน 28 วัน เมื่อคอกกระต๊ะมีอายุเพิ่มขึ้นจะมีกำลังสูงกว่าคอกกระต๊ะควบคุมเล็กน้อยจนลิ้นสุดการทดสอบ ทั้งนี้เพราะว่าการแทนที่ด้วยชิลิกาฟูมร่วมกับเก้าอี้นิรภัยเด็กจะเกิดผลดีขึ้นวัสดุทั้งสองชนิดร่วมกันดีกว่าชิลิกาฟูมที่อนุภาคขนาดเล็กจะเกิดปฏิกิริยาปอชโซซิลานได้อย่างรวดเร็วทำให้การพัฒนา กำลังอัดในช่วงอายุต้นๆ ได้ดีในขณะที่ เก้าอี้นิรภัยเด็กต่อชิลิกาฟูมที่มีอนุภาคค่อนข้างเล็กจะเสียดที่สามารถเข้าไปอุดช่องว่างเล็กๆ ระหว่างปูนซีเมนต์ และหินหรือทรายได้ทำให้คอกกระต๊ะแน่นขึ้น และรู้ว่าที่กลมมนของเก้าอี้นิรภัยจะทำให้คอกกระต๊ะเหลื่อมและทำงานได้ง่ายขึ้น ซึ่งจะสอดคล้องกับผลการศึกษาของ Shannag [10] ที่ใช้สารปอชโซซิลานจากธรรมชาติร่วมกับชิลิกาฟูม ในการทำคอกกระต๊ะ กำลังสูง พบว่าได้คอกกระต๊ะที่มีกำลังอัดสูงกว่าการใช้สารปอชโซซิลานหรือชิลิกาฟูมเพียงอย่างเดียวแต่ ทั้งนี้จะให้กำลังอัดสูงในช่วงที่ใช้ชิลิกาฟูมร้อยละ 15 ร่วมกับสารปอชโซซิลานไม่เกินร้อยละ 15

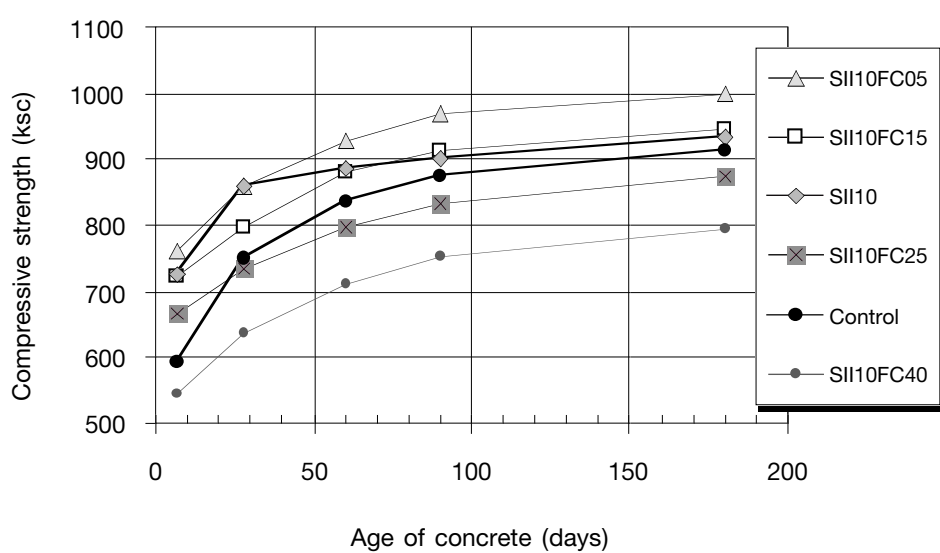
อย่างไรก็ตาม คอกกระต๊ะที่ใช้ชิลิกาฟูม SI ร้อยละ 10 ร่วมกับเก้าอี้นิรภัย FC ร้อยละ 40 ให้ กำลังอัดต่ำกว่าคอกกระต๊ะควบคุมตั้งแต่อายุทดสอบ 7 วันจนถึง 180 วัน ทั้งนี้ เพราะว่าการแทนที่ปูนซีเมนต์ด้วยวัสดุ ปอชโซซิลานมากก็ในร้อยละ 50 (ชิลิกาฟูมร้อยละ 10 และเก้าอี้นิรภัยเด็กต่อชิลิกาฟูมร้อยละ 40) ล่งผลให้ปริมาณปูนซีเมนต์ลดลงจนทำให้ Ca(OH)₂ ที่ได้จากการทดสอบ ออกจากการแทนที่ปูนซีเมนต์ไม่เพียงพอที่จะทำปฏิกิริยาปอชโซซิลานกับวัสดุ ดูปอชโซซิลานทั้งสองชนิด กำลังอัดดึงตัวลง นอกจากนั้นปริมาณสารปอชโซซิลานที่ใส่เข้าไปเป็นส่วนเกินจากช่องว่างในเนื้อคอกกระต๊ะ ทำให้คอกกระต๊ะไม่แน่นตัวทำให้กำลังอัดลดลง [10] และว่าการใช้เก้าอี้นิรภัย FC ในปริมาณมากเกินไป ผสมร่วมกับชิลิกาฟูมจะเป็นผลเสียต่อกำลังของคอกกระต๊ะ ดังนั้นจึงควรหลีกเลี่ยงการใช้เก้าอี้นิรภัย FC ในปริมาณสูง ขณะที่การใช้ชิลิกาฟูม SI ร้อยละ 10 ร่วมกับเก้าอี้นิรภัย FC ในปริมาณร้อยละ 5 ถึง 15 จะมีกำลังอัดใกล้เคียงกัน ซึ่งทั้งคู่จะให้กำลังอัดสูงกว่าคอกกระต๊ะควบคุมและคอกกระต๊ะที่ใช้เก้าอี้นิรภัย FC ร้อยละ 25 ขึ้นไป

รูปที่ 5 แสดงค่าร้อยละ กำลังอัดกับอายุของคอกกระต๊ะแทนที่ด้วย SI, SII ร้อยละ 10 ร่วมกับเก้าอี้นิรภัยเด็กต่อชิลิกาฟูมร้อยละ 0, 5, 15, 25 และ 40 แสดงให้เห็นว่าที่ช่วงอายุต้นๆ (7-28 วัน) คอกกระต๊ะที่ผสมด้วย SI, SII ร้อยละ 10 ร่วมกับเก้าอี้นิรภัยเด็กต่อชิลิกาฟูมร้อยละ 15 มีการพัฒนา กำลังอัดสูงกว่าคอกกระต๊ะควบคุมมาก หลังจาก

นั้นค่อยๆ ลดลงและค่อนข้างคงที่เมื่ออายุ 90 วัน ทั้งนี้ เพราะว่ากำลังอัดที่สูงขึ้นของคอนกรีตขึ้นอยู่กับผลของปฏิกิริยาปอชโซลานและการอัดตัว (packing effect) จากการที่คอนกรีตมีชิลิกาฟูมซึ่งมีอนุภาคขนาดเล็กมากเป็นส่วนใหญ่ทำให้เกิดปฏิกิริยาปอชโซลานและการอัดตัวได้รวดเร็วมากที่อยู่ต้นๆ ส่งผลให้กำลังอัดเพิ่มสูงอย่างรวดเร็วหลังจากนั้นการพัฒนากำลังอัดจะช้าลง เนื่องจากได้ทำปฏิกิริยาไปส่วนใหญ่แล้ว

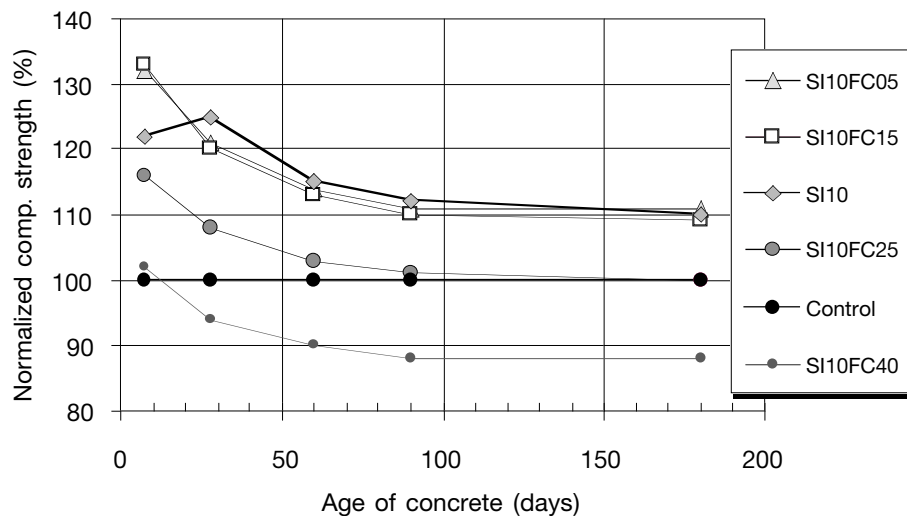


ก. ชิลิกาฟูม SI ร้อยละ 10

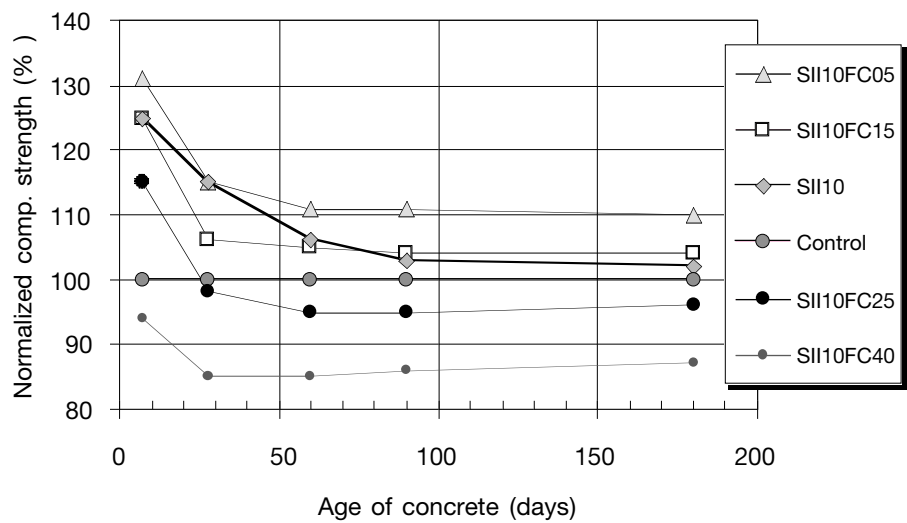


ข. ชิลิกาฟูม SII ร้อยละ 10

รูปที่ 4 ความสัมพันธ์ระหว่างกำลังอัดกับอายุของคอนกรีตแทนที่ด้วย SI, SII ร้อยละ 10
ร่วมกับเก้าถ่านหินแยกละอีด ร้อยละ 0, 5, 15, 25 และ 40



ก. ชิลิกาฟูม SI ร้อยละ 10



ข. ชิลิกาฟูม SII ร้อยละ 10

รูปที่ 5 ความล้มเหลวระหว่างร้อยละกำลังอัดกับอายุของคอนกรีตแทนที่ด้วย SI, SII ร้อยละ 10
ร่วมกับถ่านหินแยกละเรียบร้อยละ 0, 5, 15, 25 และ 40

4.3.3 ผลของการใช้ชิลิกาฟูม SII ร้อยละ 10 ร่วมกับเด็กถ่านหินแยกละเอียดต่อกำลังอัดของคอนกรีต

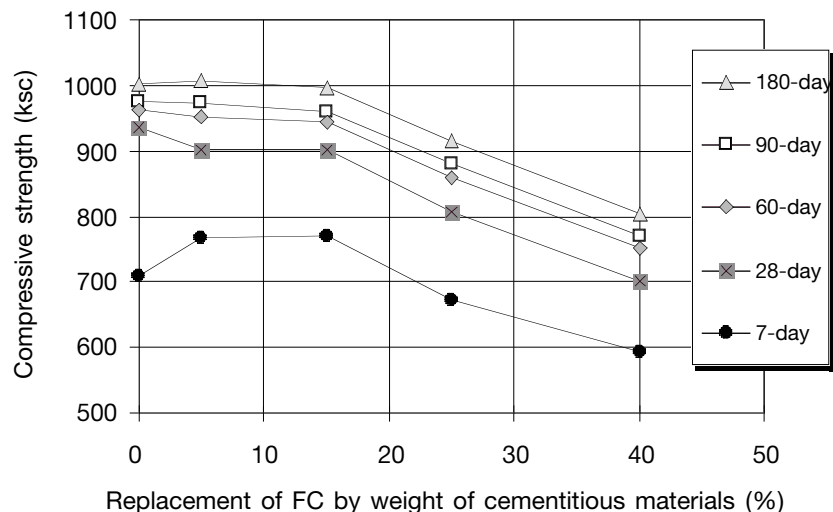
ผลการทดสอบกำลังคอนกรีตแทนที่ปูนซีเมนต์ด้วยชิลิกาฟูม SII ร้อยละ 10 ร่วมกับเด็กถ่านหิน FC ร้อยละ 5, 15, 25, และ 40 แสดงในตารางที่ 4 ตั้งแต่ Mix No. 8 ถึง 11 ส่วนรูปที่ 4 ข. และ 5 ข. แสดงความสัมพันธ์ระหว่างกำลังอัดและร้อยละกำลังอัดกับอายุของคอนกรีตที่แทนที่ปูนซีเมนต์ด้วยชิลิกาฟูม SII ร้อยละ 10 ร่วมกับเด็กถ่านหิน FC ร้อยละ 5, 15, 25, และ 40 พบว่าการพัฒนากำลังอัดและความซันของเลี้นกราฟในรูปมีลักษณะไปในทิศทางเดียวกันกับคอนกรีตแทนที่ปูนซีเมนต์ด้วยชิลิกาฟูม SI ร้อยละ 10 ร่วมกับเด็กถ่านหิน FC ร้อยละ 5, 15, 25, และ 40 แต่มีกำลังอัดที่ต่ำกว่า ความแตกต่างของกำลังอัดดังกล่าวอาจมีสาเหตุมาจากการผลิตและคุณภาพของชิลิกาฟูมควบแนวโน้มแต่ละชนิด

รูปที่ 6 แสดงความสัมพันธ์ระหว่างกำลังอัดกับปริมาณแทนที่ปูนซีเมนต์ด้วยชิลิกาฟูม SI และ SII ร้อยละ 10 ร่วมกับเด็กถ่านหิน FC ร้อยละ 5, 15, 25, และ 40 ที่อายุต่างๆ พบว่าการใช้ชิลิกาฟูมทั้งสองแหล่งผลิตที่ร้อยละ 10 ร่วมกับเด็กถ่านหินแยกละเอียดไม่เกินร้อยละ 15 ทำให้คอนกรีตมีกำลังอัดมากกว่าหรือเทียบเท่ากับการใช้ชิลิกาฟูมร้อยละ 10 เพียงอย่างเดียว ในขณะที่การใช้ร่วมกับเด็กถ่านหินแยกละเอียดที่ร้อยละ 25 และ 40 จะให้กำลังอัดต่ำกว่า

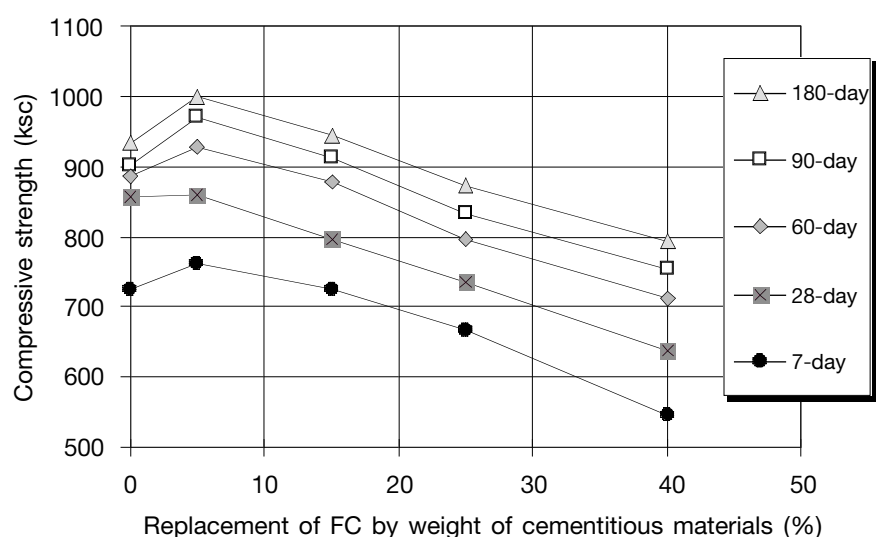
5. สรุปผลการวิจัย

จากการวิจัย การใช้ชิลิกาฟูมควบแนวร่วมกับเด็กถ่านหินแยกละเอียดในการทำคอนกรีตกำลังสูง สรุปได้ดังนี้

- การแทนที่ปูนซีเมนต์ด้วยชิลิกาฟูมควบแนวร้อยละ 10 สามารถทำคอนกรีตกำลังสูงที่ให้ค่ากำลังอัดสูงกว่าคอนกรีตควบคุมตลอดอายุการทดสอบ โดยมีค่าเป็นร้อยละ 102 ถึง 125 เมื่อเทียบกับคอนกรีตควบคุม
- การใช้ชิลิกาฟูมควบแนวร้อยละ 10 ร่วมกับเด็กถ่านหินแยกละเอียดในปริมาณไม่เกินร้อยละ 15 ในการแทนที่ปูนซีเมนต์ให้ค่ากำลังอัดสูงกว่าคอนกรีตควบคุมโดยมีค่าเป็นร้อยละ 104 ถึง 133 และให้ค่ากำลังอัดใกล้เคียงกับการใช้ชิลิกาฟูมควบแนวร้อยละ 10 แต่จะใช้ปริมาณปูนซีเมนต์และสารลดน้ำพิเศษน้อยกว่าในขณะที่มีค่าอุบัติของคอนกรีตเท่ากัน



ก. ชิลิกาฟูม SI ร้อยละ 10



ข. ชิลิกาฟูม SII ร้อยละ 10

รูปที่ 6 ความสัมพันธ์ระหว่างกำลังอัดกับการแทนที่ปูนซีเมนต์ด้วย SI, SII ร้อยละ 10
ร่วมกับเต้าถ่านทินแยกละเอียด ร้อยละ 0, 5, 15, 25 และ 40 ที่อายุต่างๆ กัน

6. กิตติกรรมประกาศ

การวิจัยนี้สามารถสำเร็จลงได้ด้วยดีเพราะได้รับการสนับสนุนจากโครงการทุนส่งเสริมวิชาชีพนักวิจัย จากสำนักงานพัฒนาวิทยาศาสตร์และเทคโนโลยีแห่งชาติ (สวทช.) สำนักงานกองทุนสนับสนุนงานวิจัย ภายใต้โครงการปริญญาเอก กฎหมายภาคภาษา (คปก.) นอกจากนี้ขอขอบคุณภาควิชาวิศวกรรมโยธา มหาวิทยาลัยเทคโนโลยีพระจอมเกล้าธนบุรี ที่ให้ความสละเวลามากด้านธุรการ อุปกรณ์เครื่องมือ และห้องปฏิบัติการ

7. เอกสารอ้างอิง

1. ACI Committee 363, 2000, "State-of-the-Art Report on High-Strength Concrete," ACI 363R-92, *ACI Manual of Concrete Practice Part I*, American Concrete Institute, Detroit, 47 pp.
2. Duval, R. and Kadri, E. H., 1998 "Influence of Silica Fume on the Workability and the Compressive Strength of High-Performance Concrete," *Cement and Concrete Research*, Vol. 28, No. 4, pp. 533-547.
3. ไกรวุฒิ เกียรติโภก, ชัย ชาตรพิทักษ์กุล, เอนก ศิริพานิชกร, จากรัตน์ วนิสรากุล, พยร เกตุกราย, อำนาจ เลิศประเสริฐวงศ์, พิชัย นิมิตยงค์กุล, ปริญญา จินดาประเสริฐ, ชัยยศ ตั้งสกิตย์กุลชัย และทิน เกตุรัตนบวร, 2540, "บทบาทความละเอียดของเล้าถ่านหินที่ได้จากการแยกขนาดต่อกำลังอัดและการกัดกร่อนเนื่องจากการดั้งพูริคของมอร์ตาร์," การประชุมวิชาการวิศวกรรมโยธาแห่งชาติ ครั้งที่ 3, สงขลา, หน้า MAT (2-1)- (2-10).
4. Slanicka, S., 1980, "The Influence of Fly Ash Fineness on the Strength of Concrete," *Cement and Concrete Research*, Vol. 21, No. 2/3, pp. 285-296.
5. Haque, M. N. and Kayali, O., 1998, "Properties of High-Strength Concrete Using a Fine Fly Ash," *Cement and Concrete Research*, Vol. 28, No. 10, pp. 1445-1452.
6. มีราษ ลีกีรติกุล และชัย ชาตรพิทักษ์กุล, 2543, "การใช้เส้าถ่านหินแยกละเอียดทดลองแทนวิลก้าฟูมในการทำคอนกรีตกำลังสูง," วิศวกรรมสารฉบับวิจัยและพัฒนา, ฉบับที่ 4, ปีที่ 11, หน้า 22-28.
7. Angsuwattana, E., Jaturapitakkul, C., Kiattikomol, K., Siripanichgorn, A., and Ketratanabovorn, T., 1998, "Use of Classified Mae Moh Fly Ash in High Strength Concrete," *Supplementary Paper of the Sixth CANMET/ACI International Conference on Fly Ash, Silica Fume, Slag, and Natural Pozzolans in Concrete*, Bangkok, Thailand, pp. 49-60.
8. Chutubtim, S., Songpiriyakij, S., Jaturapitakkul, C., and Kiattikomol, K., 1999, "A Comparative Study on Properties and Compressive Strength of 5-source Fly Ashes Concrete," *Proceedings of Inter-Regional Symposium on Sustainable Development (ISSD)*, Kanchanaburi, Thailand, pp. 360-369.

9. Hassan, K. E., Cabrera, J. G., and Maliehe, R. S., 2000, "The Effect of Mineral Admixtures on the Properties of High-Performance Concrete," *Cement and Concrete Composites*, Vol. 22, pp. 267-271.
10. Shannag, M. J., 2000, "High Strength Concrete Containing Natural Pozzolan and Silica Fume," *Cement and Concrete Composites*, Vol. 22, pp. 399-406.